

FIGURE 1. Oil and gas discoveries and significant shows, Sable Island area / FIGURE 1. Découvertes de pétrole et de gaz et indices significatifs, région de l'île de Sable

CHRONOSTRATIGRAPHIC UNIT / UNITÉ STRATIGRAPHIQUE	MEMBER / MEMBRE	WELL PITS / PUIS																									
		ALMA (S19, 20)	AFACADIA (S81)	BANQUEREAU (S106)	BLUENOISE (S87, 88)	CHEBUCTO (S88)	CITANALTA (S82)	COHASSSET (S89)	EAGLE (S89)	GLENELDG (S32, 34, 35)	INTRERPID (S61)	LOUISBOURG (S121)	MARINORA (S83)	MIGRANT (S44)	N. TRIUMPH (S64, 65)	OLYMPIA (S71)	ONONDAGA (S38, 39)	PAULINE (S23, 24)	PRIMROSE (S100)	SABLE ISLAND (S59)	S. VENTURE (S70)	THEBAUD (S40-S43)	UNACKE (S83)	VENTURE (S76-S80)	W. OLYMPIA (S50)	W. VENTURE (S73, 74)	
CRETACEOUS / CRÉTACÉ	BANQUEREAU																										
	WYANDOT																										
	DAWSON CANYON																										
	LOGAN CANYON																										
JURASSIC / JURASSIQUE	MIC MAC																										
	VERRILL CANYON																										

FIGURE 3. Stratigraphic position of hydrocarbon occurrences and drillstem test results / FIGURE 3. Position stratigraphique des gisements d'hydrocarbures et résultats des essais aux tiges

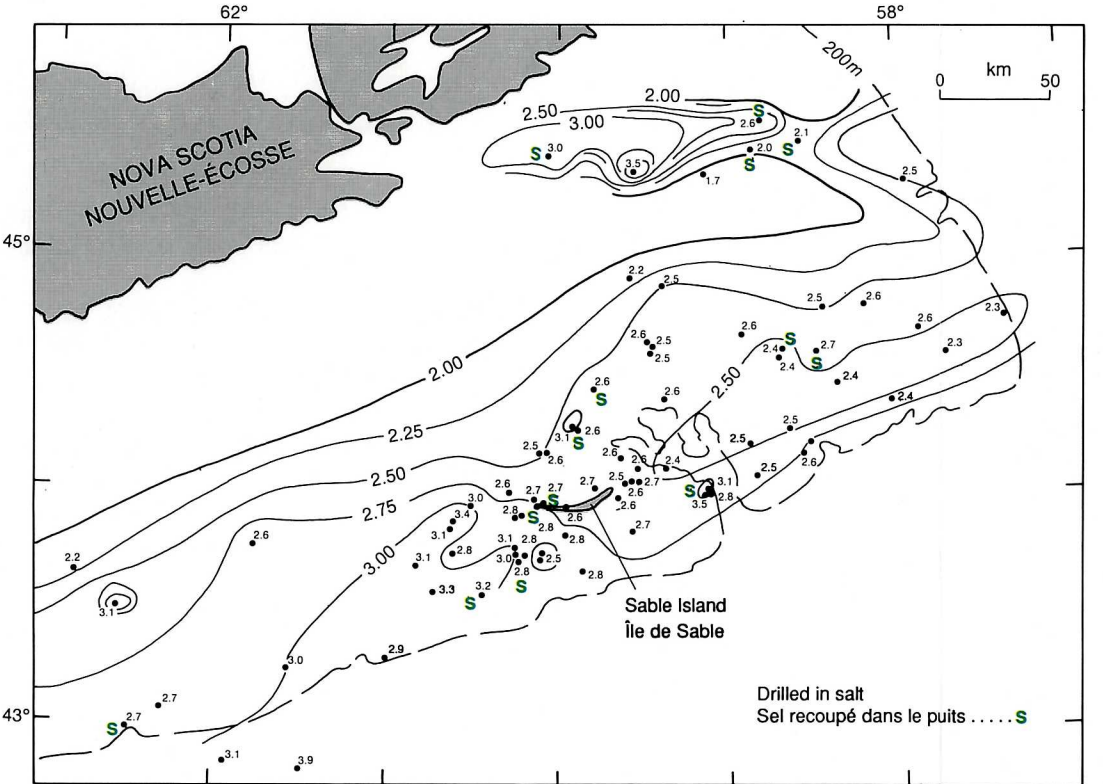


FIGURE 5. Geothermal gradients °C/100m, Scotian Shelf (modified after Nantais, 1983) / FIGURE 5. Gradients géothermiques en °C/100m, plate-forme Néo-Écossaise (modifié d'après Nantais, 1983)

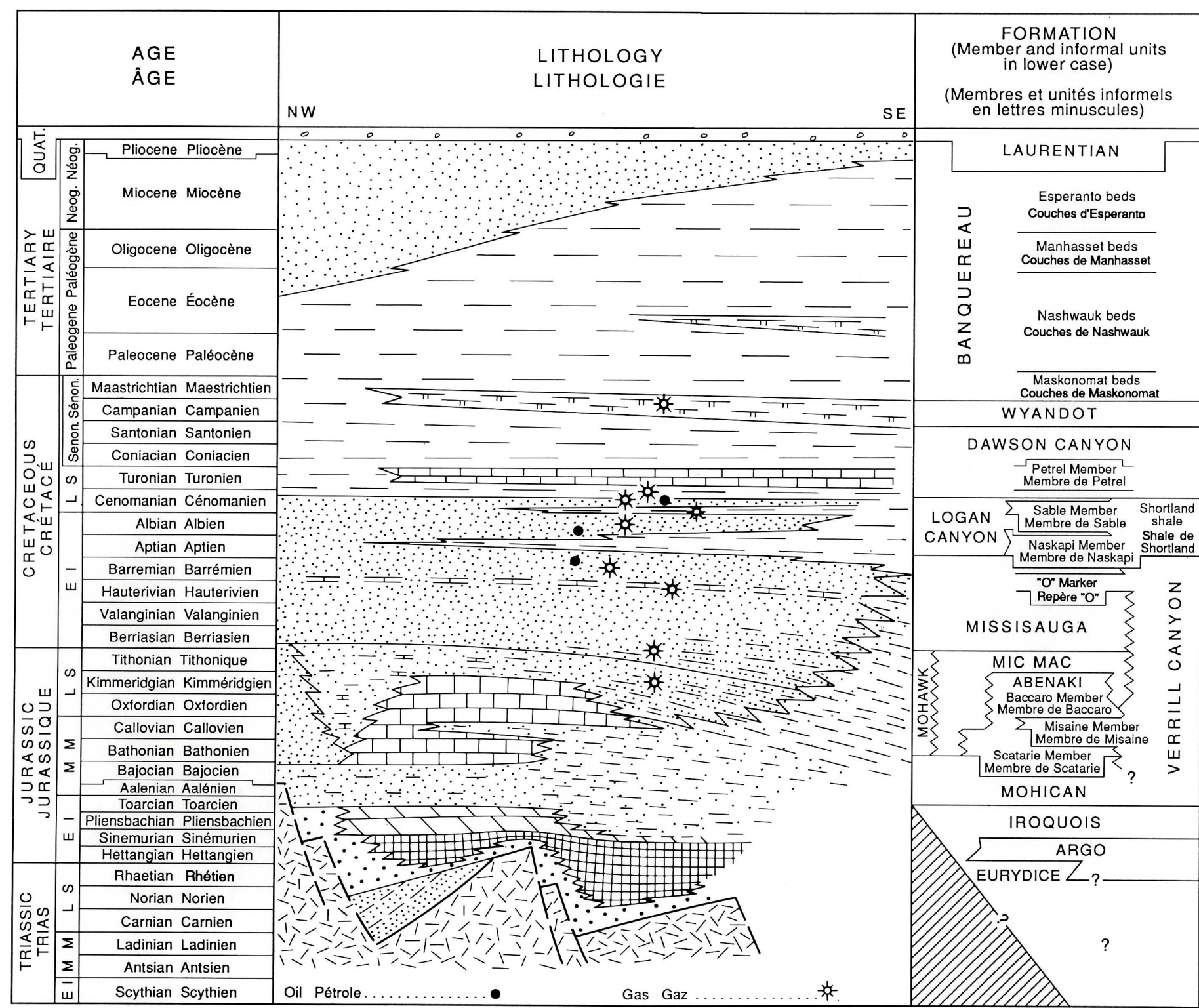


FIGURE 4. Generalized stratigraphy in the Sable Island area showing approximate zones with hydrocarbon occurrences (modified after Wade et al., 1989) / FIGURE 4. Stratigraphie généralisée de la région de l'île de Sable montrant la position approximative des zones d'hydrocarbures (modifié d'après Wade et coll., 1989)

SCOTIAN SHELF OIL AND GAS OCCURRENCES AND GEOCHEMISTRY / PLATE-FORME NÉO-ÉCOSSAISE GISEMENTS DE PÉTROLE ET DE GAZ ET GÉOCHIMIE

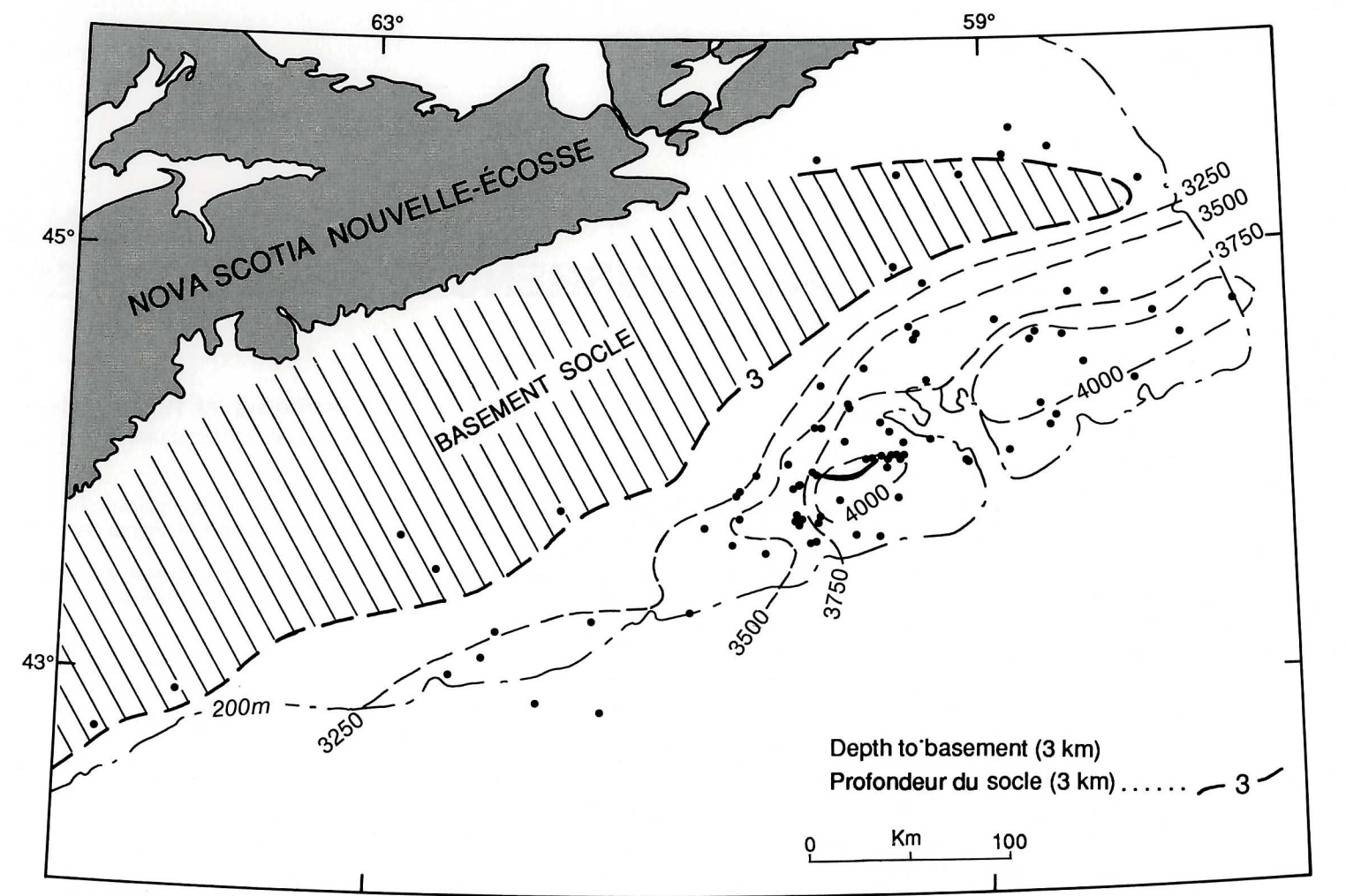


FIGURE 6. Depth (in metres) to Ro 0.70% (modified after Nantais, 1983) / FIGURE 6. Profondeur (en mètres) du niveau auquel la Ro atteint 0,70 % (modifié d'après Nantais, 1983)

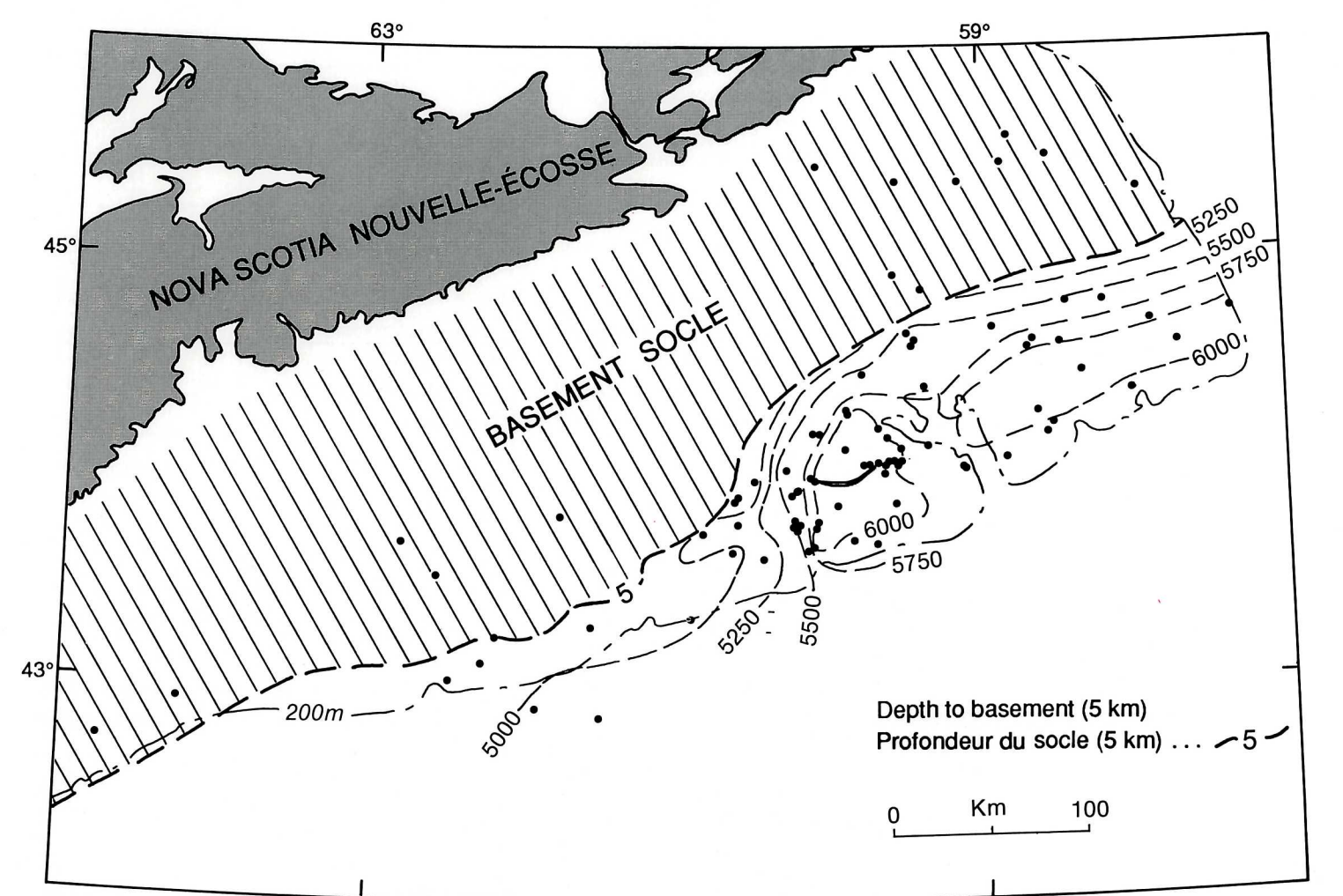


FIGURE 7. Depth (in metres) to Ro 1.30% (modified after Nantais, 1983) / FIGURE 7. Profondeur (en mètres) du niveau auquel la Ro atteint 1,30 % (modifié d'après Nantais, 1983)

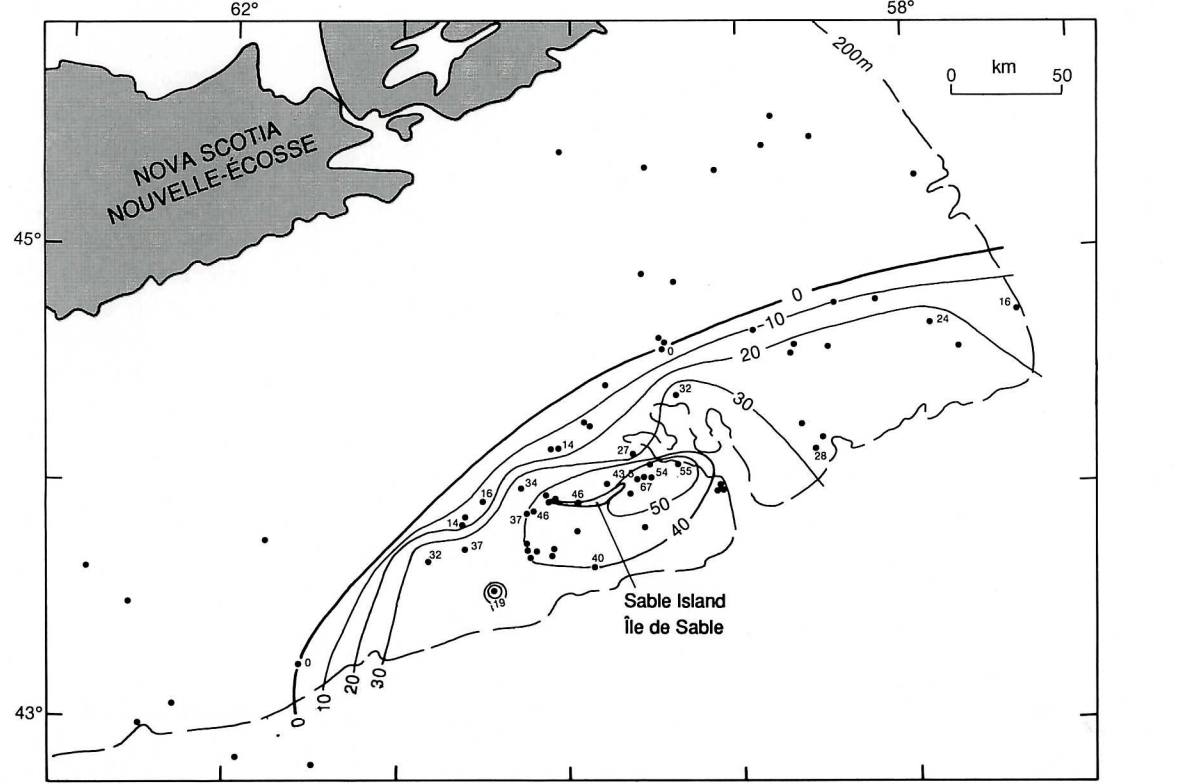


FIGURE 8. Time (Ma) when top of Jurassic entered Ro 0.60%, as calculated from TTI (modified after Nantais, 1983) / FIGURE 8. Temps écoulé (Ma) depuis que le sommet du Jurassique a atteint une Ro de 0.60 %, calculée à partir de l'ITI (modifié d'après Nantais, 1983)

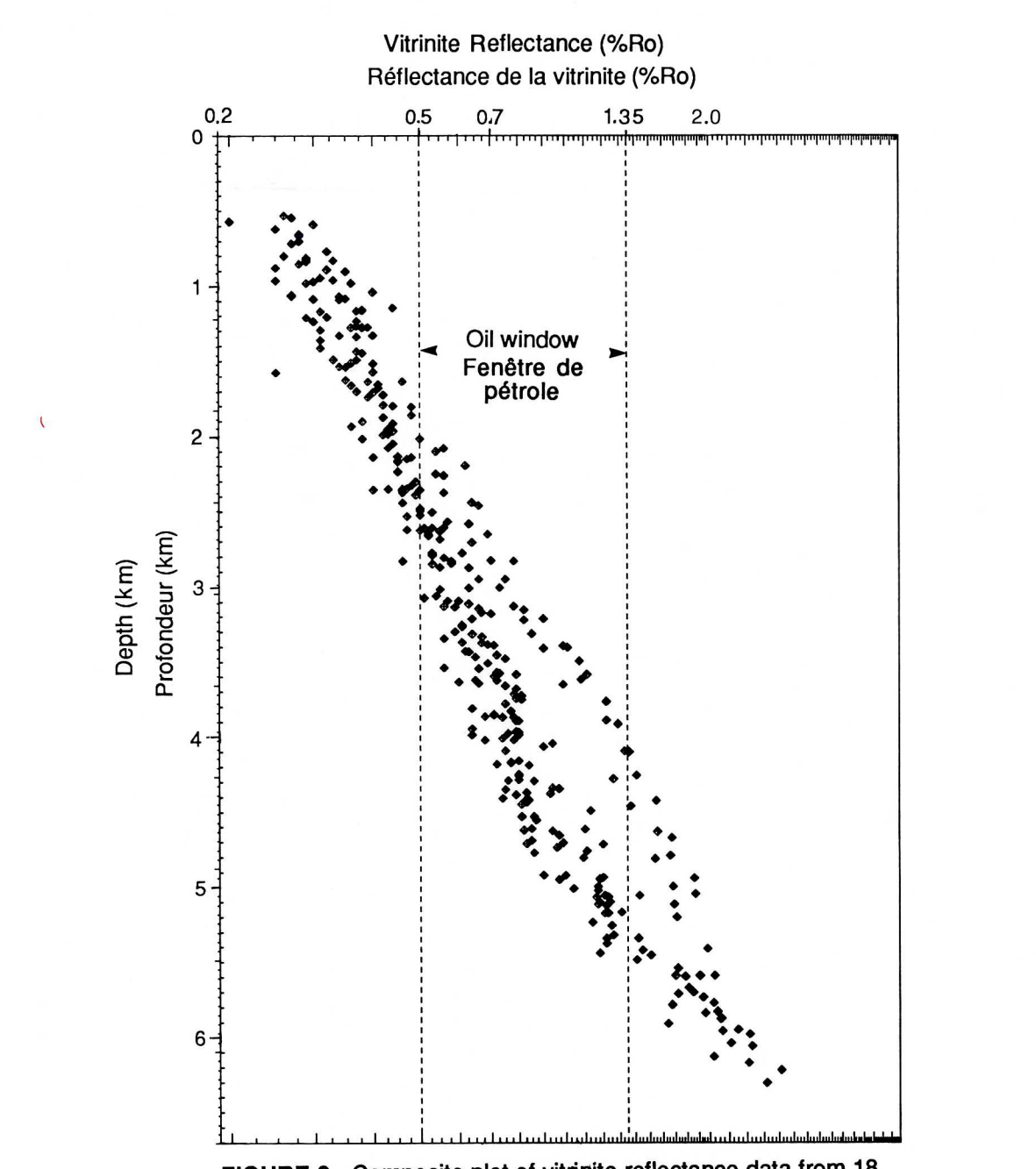


FIGURE 9. Composite plot of vitrinite reflectance data from 18 wells (data from M. P. Avery, Atlantic Geoscience Centre, 1990) / FIGURE 9. Diagramme composite des données sur la réflectance de la vitrinite à partir de 18 puits (données de M. P. Avery, Centre géoscientifique de l'Atlantique, 1990)